

# การศึกษาระบบททำความเย็นแบบดูดกลืนโดยใช้พลังงานแสงอาทิตย์ร่วมกับระบบทำความเย็นแบบกักเก็บน้ำแข็ง

## Study of an Absorption Chiller Using Solar Energy Combined with Ice Storage System

นัฐพร ไชยญาติ<sup>1</sup>

พงส์เกียรติ เกียรติศิริโรจน์<sup>2</sup>

ณัฐพล ไชยแก้ว<sup>3</sup>

<sup>1</sup>วิทยาลัยพลังงานทดแทน มหาวิทยาลัยแม่โจ

<sup>2</sup> ภาควิชาวิศวกรรมเครื่องกล

คณะวิศวกรรมศาสตร์ มหาวิทยาลัยเชียงใหม่

<sup>3</sup> บริษัท ทีซัล อินโนเวชั่น อินเทลลิเจนซ์ จำกัด

### บทคัดย่อ

งานวิจัยนี้จำลองระบบผลิตน้ำร้อนพลังงานแสงอาทิตย์ที่ใช้ตัวเก็บรังสีแบบห่อสูญญากาศ สำหรับจ่ายให้แก่ระบบทำความเย็นแบบดูดกลืนที่ใช้สารทำงานในระบบ คือสารละลายลิเทียมไนโตรไมด์กับน้ำ เพื่อทำงานร่วมกับระบบทำความเย็นแบบกักเก็บน้ำแข็งที่ใช้สารทำงานในกํุมอนทรี ผลิตน้ำเย็นจ่ายให้แก่อาคารที่ต้องการลดอัตราการใช้พลังงานไฟฟ้าในช่วงที่อัตราค่าไฟฟ้าสูง ผลการศึกษาพบว่า จำนวนตัวเก็บรังสีอาทิตย์จำนวน 35 แผง แต่ละแผงมีพื้นที่  $2.4 \text{ m}^2$  เหมาะสมต่อการผลิตน้ำอุ่นอุณหภูมิสูงกว่า  $80^\circ\text{C}$  ต่อเนื่อง 5 ชั่วโมง ที่อัตราการให้พลังงานความร้อนประมาณ 40 kW สำหรับ การทำความเย็น 35 kW โดยระบบทำความเย็นแบบดูดกลืนมีค่า COP ประมาณ 0.8 และระบบทำความเย็นแบบกักเก็บน้ำแข็งมีสารทำงานที่เหมาะสม คือ Propane ทั้งนี้ระบบร่วมดังกล่าวสามารถลดค่าใช้จ่ายไฟฟ้าได้ปีละ 95,986 Baht/Y เปรียบเทียบกับระบบทำความเย็นแบบทำน้ำเย็นทั่วไป และมีระยะเวลาการคืนทุนประมาณ 8 Y

**คำสำคัญ:** ระบบทำความเย็นแบบดูดกลืน พลังงานแสงอาทิตย์ระบบทำความเย็นแบบอัดไอ ระบบทำความเย็นแบบกักเก็บน้ำแข็ง

### Abstract

A simulation result of a LiBr-H<sub>2</sub>O absorption chiller with a solar water heating system having evacuated-tube solar collectors combined with an ice storage system for a building was carried out. It could be seen that the suitable number of solar collector was around 35 units each of  $2.4 \text{ m}^2$  for supplying hot water temperature over  $80^\circ\text{C}$  for 5 h continually with a heating capacity around 40 kW to generate the cooling capacity of 35 kW. The COP of the absorption chiller was around 0.8. For ice storage system, the suitable natural working fluid was propane. The modified system could decrease the electrical consumption around 95,986 Baht/Y compared with the normal chiller system of which the payback period was around 8 Y.

**Keywords:** Absorption chiller, Solar Energy, Vapor compression, Ice storage system

### บทนำ

จากสถานการณ์ภาวะโลกร้อนในปัจจุบันส่งผลให้อุณหภูมิอากาศทั่วโลกเพิ่มสูงขึ้น ทำให้หลายฝ่ายมีการคิดค้นและพัฒนาแนวโน้มใหม่ๆ เพื่อช่วยลดภาวะโลกร้อนนอกจากนี้ยังมีการออกแบบสิ่งก่อสร้างหรืออาคารสีเขียว (Green building) ที่มีผลกระทบต่อสิ่งแวดล้อมน้อยและสามารถประยุกต์พลังงาน รวมไปถึงการนำ

พลังงานทางเลือกมาใช้เพิ่มมากขึ้น เพื่อลดการใช้พลังงานฟอสซิลที่ใช้แล้วหมดไป โดยเฉพาะอย่างยิ่งในระบบทำความเย็น

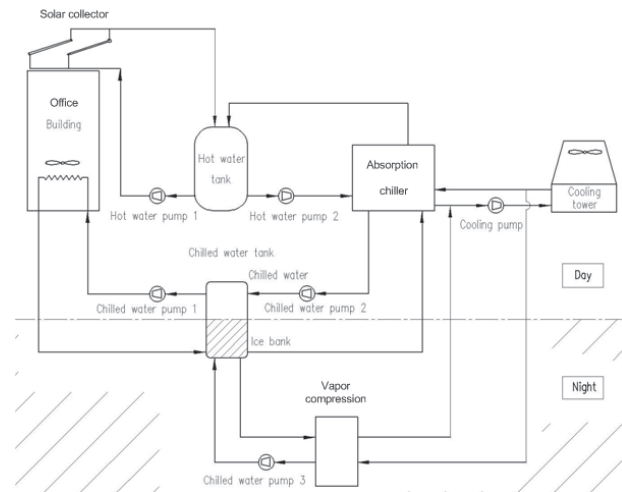
ระบบทำความเย็นมีหลายรูปแบบ เช่น ระบบทำความเย็นแบบอัดไอ (Vapor compressor system) ระบบทำความเย็นแบบกักเก็บน้ำแข็ง (Ice storage system) และระบบทำความเย็นดูดกลืน (Absorption chiller) เป็นต้น ในปัจจุบันระบบ Vapor compressor system เป็นระบบที่ใช้งานกันอย่างแพร่หลาย โดยใช้พลังงานไฟฟ้าใน

การขับเคลื่อนระบบ ซึ่งพลังงานดังกล่าวเป็นพลังงานสิ้นเปลือย มีแนวโน้มที่จะหมดไปในอนาคตอันใกล้ ทำให้ระบบทำความเย็นที่ใช้พลังงานทางเลือกได้รับความสนใจมากขึ้น โดยระบบทำความเย็นแบบดูดกลืนเป็นหนึ่งในเทคโนโลยีที่สามารถนำพลังงานทางเลือกในรูปแบบความร้อนมาขับเคลื่อนระบบได้ กอร์กันประเทศไทยที่ตั้งอยู่ใกล้แนวเส้นศูนย์สูตรทำให้มีศักยภาพพลังงานแสงอาทิตย์ตอนข้างสูง และพลังงานดังกล่าวยังเป็นพลังงานสะอาด ดังนั้นสามารถนำพลังงานจากแสงอาทิตย์มาผลิตน้ำร้อน เพื่อป้อนให้แก่ระบบทำความเย็นแบบดูดซึมได้ (Solar-absorption chiller) ลดอัตราการใช้พลังงานไฟฟ้าที่ผลิตจากเชื้อเพลิงฟอสซิลรวมทั้งลดปัญหาด้านสิ่งแวดล้อมได้อีกด้วย แต่เทคโนโลยีพลังงานแสงอาทิตย์มีข้อจำกัด คือ สามารถใช้งานได้ในช่วงที่มีแสงอาทิตย์เท่านั้น ในช่วงเวลากลางคืนและช่วงที่มีปริมาณรังสีแสงอาทิตย์ต่ำจะไม่สามารถใช้งานได้ ดังนั้นในการใช้งาน Solar-absorption chiller จึงต้องมีการเสริมระบบโดยในงานวิจัยนี้ได้ให้ความสนใจระบบทำความเย็นแบบเก็บน้ำแข็ง [1] เนื่องจากระบบี้สามารถผลิตน้ำแข็งในไว้ในถังเก็บน้ำแข็งในช่วงที่มีอัตราค่าไฟฟ้าต่ำ (Off-peak demand) จากนั้นจะละลายน้ำแข็งนำมาทำความเย็นไปใช้ในช่วงที่อัตราค่าไฟฟ้าสูง (On-peak demand) นอกจากนี้การใช้ Solar-absorption chiller ร่วมกับ Ice storage system ในการทำความเย็นของระบบปรับอากาศ ยังเป็นการส่งเสริมและตอบสนองต่อนโยบายของภาครัฐ ที่มุ่งส่งเสริมการใช้พลังงานทางเลือกให้มากขึ้นและลดการใช้พลังงานสิ้นเปลือย รวมถึงเป็นต้นแบบของอาคารสีเขียวอีกด้วย

โดยงานวิจัยต่างๆ ที่เกี่ยวข้องกับระบบทำความเย็นแบบดูดกลืนมีดังต่อไปนี้จากการศึกษางานวิจัยเกี่ยวกับระบบทำความเย็นที่ผ่านมา อนิรุทธิ์ กันทะวงศ์ [2] ได้ศึกษาสมรรถนะระบบทำความเย็นแบบดูดกลืนที่ใช้สารละลายลิเทียมไบร์ไมด์กับน้ำ ( $\text{LiBr-H}_2\text{O}$ ) เป็นสารคูณทำงาน โดยแหล่งพลังงานจากพลังงานแสงอาทิตย์ร่วมกับพลังงานชีวมวล ผลการศึกษาพบว่าระบบมีค่าสัมประสิทธิ์สมรรถนะ (Coefficient of performance, COP) การทำความเย็นเท่ากับ 0.609 อาจี ศุภสุธีกุล [3] ได้ทำการศึกษาระบบททำความเย็นแบบดูดกลืนจากพลังงานแสงอาทิตย์โดยใช้สารทำงานทดแทน โดยการเปรียบเทียบสารทำงานระหว่างสารละลายลิเทียมไบร์ไมด์กับน้ำ กับสารละลายโพแทสเซียมฟอร์เมติกับน้ำ ผลที่ได้พบว่า คุณลักษณะการทำงานใกล้เคียงกัน แต่สารสารละลายโพแทสเซียมฟอร์เมติกับน้ำไม่มีส่วนผสมของสาร CFC และมีความเป็นพิษน้อยกว่าสารละลายลิเทียมไบร์ไมด์กับน้ำ นัฐพร ไชยญาติ [4] ได้ทำการออกแบบและสร้างระบบทำความเย็นแบบดูดกลืนที่ใช้อิเล็กทรอนิกส์จากเครื่องผลิตกระแสไฟฟ้าก้าชชีวภาพได้ ผลที่ได้พบว่าระบบมีค่าสัมประสิทธิ์สมรรถนะการทำความเย็นเท่ากับ 0.25 มนตรี มนต์ไชยะ [5] ได้ทำการศึกษาและจำลองระบบทำความเย็นแบบดูดกลืนชนิดเปิด โดยใช้พลังงานแสงอาทิตย์ในการผลิตน้ำร้อนเพื่อให้กับเครื่องทำความเย็นแบบดูดกลืน ผลที่ได้พบว่า พลังงานแสงอาทิตย์เพียงอย่างเดียวไม่เพียงพอในการผลิตน้ำร้อนป้อนให้กับระบบทำความเย็นในกรณีที่ปริมาณรังสีแสงอาทิตย์มีค่าน้อย เช่น ในช่วงฤดูฝนหรือในเวลากลางคืน ดังนั้นระบบทำน้ำร้อนแสงอาทิตย์จึงถูกนำมาประยุกต์ใช้กับระบบทำความเย็นประจำที่อยู่เพื่อช่วยในการผลิตน้ำร้อนร่วมกัน

จากการศึกษางานวิจัยต่างๆ พบว่า การทำความเย็นโดย Absorption chiller ที่ใช้แหล่งพลังงานความร้อนจากระบบผลิตน้ำร้อน

พลังงานแสงอาทิตย์เพียงชนิดเดียว ไม่เพียงพอต่อการทำความเย็นของอาคารเชิงพาณิชย์ โดยเฉพาะในช่วงเช้าและเย็นเนื่องจากค่าความเย็นรังสีอาทิตย์ไม่เพียงพอต่อการผลิตน้ำร้อนอุณหภูมิสูงเพื่อจ่ายไฟแก่ระบบทำความเย็น รวมถึงในช่วงเวลากลางคืนหรือฤดูฝน ดังนั้นจึงต้องมีระบบทำความเย็นแบบอื่นมาช่วยเสริม ซึ่งระบบทำความเย็น Ice storage system ที่มีหลักการเก็บสะสมความเย็นในช่วงค่าไฟฟ้าถูกและนำมาใช้งานในช่วงค่าไฟฟ้าสูง จึงเหมาะสมในการทำงานร่วมกับ Absorption chiller ด้วยหลักการดังกล่าวจึงนิยมมุ่งศึกษาการใช้งานระบบ Solar-absorption chiller ร่วมกับ Ice storage system ภายใต้สภาวะอากาศและความเข้มรังสีแสงอาทิตย์ของประเทศไทย เพื่อหาประสิทธิภาพการทำงานที่เหมาะสมที่สุดของระบบร่วมดังกล่าวต่อไป



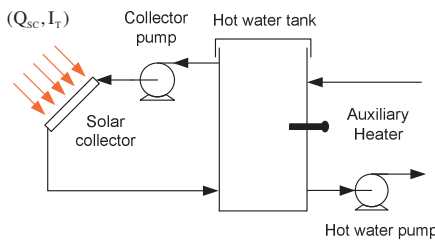
รูปที่ 1 การทำงานของระบบ Solar-absorption chiller ร่วมกับ Ice storage system

#### ทฤษฎีที่เกี่ยวข้อง

การทำงานของระบบทำความเย็นร่วมแสดงดังรูปที่ 1 เริ่มต้นที่ Ice storage system ทำน้ำแข็งเก็บไว้ในถังเก็บ (Ice bank) ในช่วงอัตราค่าไฟฟ้าต่ำ และทำการละลายน้ำแข็งดังกล่าวเพื่อผลิตน้ำเย็นอุณหภูมิ  $10-15^{\circ}\text{C}$  เพื่อใช้ในระบบปรับอากาศตอนช่วงเช้า จนกระทั่งระบบผลิตน้ำร้อนพลังงานแสงอาทิตย์สามารถผลิตน้ำร้อนได้อุณหภูมิสูงกว่า  $80^{\circ}\text{C}$  ป้อนให้กับ Absorption chiller เพื่อผลิตน้ำเย็น อุณหภูมิประมาณ  $10-15^{\circ}\text{C}$  ทดแทนการละลายน้ำแข็งจาก Ice bank โดย Solar-absorption chiller จะทำหน้าที่ผลิตน้ำเย็นในช่วงประมาณ 9:00 น. ถึง 14:00 น. โดยประมาณจากนั้นในช่วงเย็นที่ระบบผลิตน้ำร้อนไม่สามารถผลิตน้ำร้อนอุณหภูมิสูงเพื่อป้อนให้แก่ Absorption chiller ได้แล้วนั้น ระบบทำความเย็นร่วมจะกลับไปละลายน้ำแข็งใน Ice bank มาใช้อีกรอบ และในกลางคืนระบบ Vapor compression system จะทำหน้าที่ผลิตน้ำแข็งเพื่อใช้ในช่วงกลางวันอีกรอบ

โดยทฤษฎีเบื้องต้นของระบบผลิตน้ำร้อนพลังงานแสงอาทิตย์ Absorption chiller และ Vapor compression system มีดังต่อไปนี้  
ระบบผลิตน้ำร้อนพลังงานแสงอาทิตย์ (Solar Water Heating System)

ตัวเก็บรังสีอาทิตย์เป็นอุปกรณ์แลกเปลี่ยนความร้อน ทำหน้าที่เปลี่ยนพลังงานแสงอาทิตย์ไปเป็นพลังงานความร้อน และถ่ายเทให้กับของไหลที่ไหลภายใต้ตัวเก็บรังสีดังแสดงในรูปที่ 2 โดยการคำนวณต่างๆ ของระบบพลังงานแสงอาทิตย์มีขั้นตอนดังต่อไปนี้



รูปที่ 2 ระบบผลิตน้ำร้อนพลังงานแสงอาทิตย์

- ตัวรับรังสีอาทิตย์

$$Q_{SC} = \dot{m}_{SC} C_{p,SC} (T_{SC,o} - T_{SC,i}) \quad (1)$$

$$Q_{SC} = F_R (\tau \alpha) I_T A_{SC} - F_R U_L A_{SC} (T_{SC,i} - T_a) \quad (2)$$

สำหรับการคำนวณตัวรับรังสีสามารถใช้ได้ตามแบบอนุกรม [6]

$$(F_R (\tau \alpha))_{Series} = F_R (\tau \alpha) \left[ \frac{1 - (1 - K)^N}{NK} \right] \quad (3)$$

$$(F_R U_L)_{Series} = F_R U_L \left[ \frac{1 - (1 - K)^N}{NK} \right] \quad (4)$$

เมื่อ

$$K = \frac{A_{SC} (F_R U_L)_{Single\ unit}}{\dot{m}_{SC} C_{p,SC}} \quad (5)$$

- อัตราการใช้น้ำร้อนในถังเก็บน้ำร้อน

$$Q_{Sup} = \dot{m}_{Sup} C_{p,bulk} (T_{Sup,o} - T_{Sup,i}) \quad (6)$$

- อัตราการสูญเสียความร้อนของถังเก็บน้ำร้อน

$$Q_{Loss} = UA_{ST} (T_{ST} - T_a) \quad (7)$$

- ถังเก็บน้ำร้อน

$$Q_{ST} = M_{ST} C_{p,ST} \left( \frac{T_{ST}^{t+\Delta t} - T_{ST}^t}{\Delta t} \right) \quad (8)$$

ทำการคำนวณเชิงตัวเลขมาช่วยในการคำนวณได้ว่า

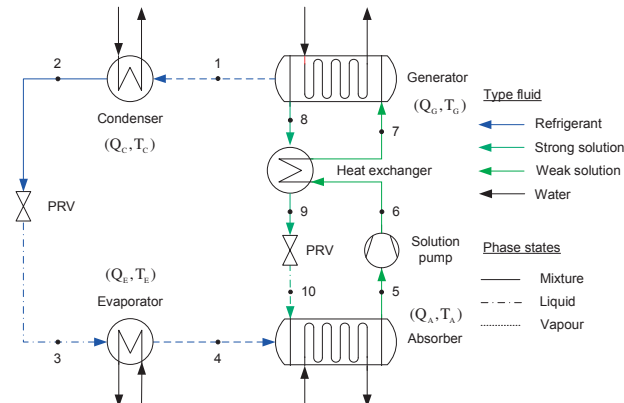
$$T_{ST}^{t+\Delta t} = T_{ST}^t + \frac{Q_{ST} \Delta t}{M_{ST} C_{p,ST}} \quad (9)$$

เมื่อมีการนำแหล่งความร้อนเสริมมาช่วยสมการที่ได้มีดังนี้

$$T_{ST}^{t+\Delta t} = T_{ST}^t + \frac{(Q_{SC} + Q_{Aux} - Q_{Loss} - Q_{Sup}) \Delta t}{M_{ST} C_{p,ST}} \quad (10)$$

### ระบบทำความเย็นแบบดูดกลืน (Absorption Chiller)

ระบบทำความเย็นแบบดูดกลืนมีอุปกรณ์ต่างๆ ในระบบแสดงดังรูปที่ 3 และมีสมการที่ใช้ในการคำนวณของอุปกรณ์ต่างๆ ในระบบทำความเย็นแบบดูดกลืนดังต่อไปนี้



รูปที่ 3 ไดอะแกรมอุปกรณ์ของระบบทำความเย็นแบบดูดกลืน

- เจนเนอเรเตอร์ (Generator)

$$Q_G = \dot{m}_1 h_1 + \dot{m}_8 h_8 - \dot{m}_7 h_7 \quad (11)$$

- คอนденเซอร์ (Condenser)

$$Q_C = \dot{m}_1 (h_1 - h_2) \quad (12)$$

- อีเวอปอร์เรเตอร์ (Evaporator)

$$Q_E = \dot{m}_3 (h_4 - h_3) \quad (13)$$

- แอบซอร์บอร์ (Absorber)

$$Q_A = \dot{m}_4 h_4 + \dot{m}_{10} h_{10} - \dot{m}_5 h_5 \quad (14)$$

- เครื่องแปลงเปลี่ยนความร้อน (Heat exchanger)

$$Q_{HX,act} = \dot{m}_5 C_{p,5} (T_5 - T_6) = \dot{m}_{10} C_{p,10} (T_{10} - T_9) \quad (15)$$

- ปั๊มสารละลายน้ำ (Solution pump)

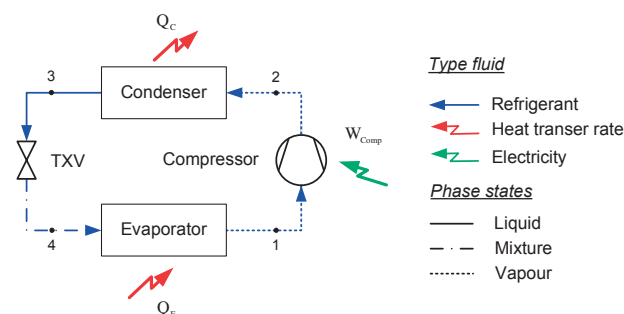
$$W_p = \dot{m}_5 (h_6 - h_5) \quad (16)$$

- สัมประสิทธิ์การทำความเย็น (Coefficient of performance, COP)

$$COP_{AB} = \frac{Q_E}{Q_G + W_p} \quad (17)$$

### ระบบทำความเย็นแบบอัดไอ (Vapor Compression System)

ระบบทำความเย็นแบบอัดไอทำหน้าที่ผลิตน้ำแข็งกักเก็บไว้ในรูปต่างๆ เช่น การผลิตน้ำแข็งบนผิวน้ำ (Ice on coil) เป็นต้น ซึ่งมีลักษณะการทำงานดังแสดงในรูปที่ 3 โดยการคำนวณต่างๆ ของระบบดังกล่าวมีดังต่อไปนี้



รูปที่ 3 ระบบทำความเย็นแบบอัดไอ

- อีเวอปอร์เรเตอร์ (Evaporator)

$$Q_E = \dot{m}_r (h_1 - h_4) \quad (18)$$

- คอมเพรสเซอร์ (Compressor)

$$W_{\text{Comp}} = \dot{m}_r (h_2 - h_1) \quad (19)$$

- คอนเดนเซอร์ (Condenser)

$$Q_C = \dot{m}_r (h_2 - h_3) \quad (20)$$

- วาล์วลดความดัน (Expansion valve)

$$h_3 = h_4 \text{ (Throttling process)} \quad (21)$$

- สัมประสิทธิ์การทำงานเย็น (Coefficient of performance, COP)

$$\text{COP}_{VC} = \frac{Q_c}{W_{\text{Comp}}} \quad (22)$$

### เงื่อนไขการทำงานและสมมุติฐาน

เงื่อนไขการทำงานที่ใช้ในการคำนวณของระบบต่างๆ และเงื่อนไขการตั้งสมมุติฐานต่างๆ มีดังต่อไปนี้

#### Solar water heating system

- ค่ารังสีอาทิตย์ ( $I_T$ ) ที่ใช้ในการคำนวณอ้างอิงของจังหวัดเชียงใหม่, แสดงในภาคผนวก ก [7]
- อุณหภูมิสิ่งแวดล้อม ( $T_a$ ) ที่ใช้ในการคำนวณอ้างอิงของจังหวัดเชียงใหม่[8]
- อัตราการไหลของน้ำผ่านตัวเก็บรังสีอาทิตย์แต่ละແ朋 ( $\dot{V}_{SC}$ ) มีค่า 0.043 l/s.
- ถังเก็บน้ำร้อนมีขนาดความจุ 3,000 liter
- ค่า UA ของถังเก็บน้ำร้อนมีค่า 3 W/K
- เส้นผ่าศูนย์กลางถังเก็บน้ำร้อนเท่ากับ 1 m
- ค่า  $F_R(T_{OC})$  และ  $F_R(U_L)$  ของตัวเก็บรังสีอาทิตย์แบบท่อสูญญากาศมีค่า 0.81 และ 2.55 W/m<sup>2</sup>.K ตามลำดับ [5]
- ตัวเก็บรังสีอาทิตย์ตอกันแบบบานานโดยแต่ละແ朋มีขนาดพื้นที่รับแสง 2.4m<sup>2</sup>

#### Absorption chiller

- ค่าความเข้มข้นต่ำสุดของสารละลายน้ำ H<sub>2</sub>O-LiBr ( $X_{min}$ ) มีค่า 45 %LiBr
- ค่าอัตราส่วนการไหล (Flow ratio, FR) สำหรับการเริ่มต้นมีค่า 20
- ไม่คิดความดันตกค่อน (Pressure drop) ที่ Evaporator, Condenser, Generator, Absorber และ Heat exchanger
- ปั๊มการทำงานและสารละลายน้ำค่าประสิทธิภาพ ( $\eta_p$ ,  $\eta_{sp}$ ) เท่ากับ 85%
- ประสิทธิผลของอุปกรณ์แลกเปลี่ยนความร้อน ( $\epsilon_{HX}$ ) มีค่า 85%
- คุณสมบัติของสารละลายน้ำ H<sub>2</sub>O-LiBr อ้างอิงจาก [9-12].

#### Vapor compression system

- ไม่คิดความดันตก (Pressure drop) อันเนื่องมาจากการไหลของสารทำงานในอุปกรณ์ต่างๆ
- อุณหภูมิที่ Condenser เท่ากับ 40 °C

3. อุณหภูมิที่ Evaporator เท่ากับ 0 °C

4. Isentropic efficiency มีค่า 80%

5. Degree of superheating มีค่า 4 °C

6. Degree of subcooling มีค่า 3.5 °C

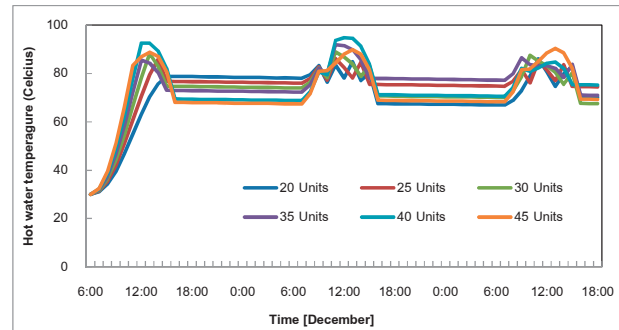
7. คุณสมบัติของสารทำงานอ้างอิงจากโปรแกรม REFPROP [13]

### ผลการดำเนินงานห้องแม่เหล็ก

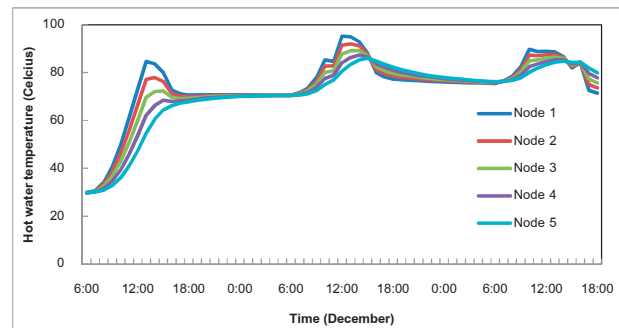
#### Solar water heating system

รูปที่ 4แสดงการเปรียบเทียบอุณหภูมิน้ำร้อนในถังเก็บน้ำร้อนขนาด 3,000 l ของตัวเก็บรังสีอาทิตย์แบบท่อสูญญากาศจำนวน 20-45 แผง ผลที่ได้พบว่าตัวเก็บรังสีอาทิตย์จำนวนน้อยที่สุด ที่สามารถผลิตน้ำร้อนอุณหภูมิสูงกว่า 80 °C จ่ายให้แก่ระบบ Absorption chiller เป็นเวลา 5 ชั่วโมงต่อเนื่อง คือ 35 แผงโดยระบบผลิตน้ำร้อนพลังงานแสงอาทิตย์สามารถจ่ายน้ำร้อนให้แก่ Absorption chiller ได้ในช่วง 9:00-14:00 ได้อย่างต่อเนื่อง

โดยอุณหภูมิของน้ำร้อนในถังเก็บน้ำขนาด 3,000 l เส้นผ่าศูนย์กลาง 1 m โดยใช้ตัวเก็บรังสีอาทิตย์จำนวน 35 แผง มีการแยกชั้นของอุณหภูมน้ำร้อนตามความหนาแน่นดังแสดงในรูปที่ 5[14] โดยการแบ่งชั้นของอุณหภูมน้ำเป็น 5 ชั้น ผลที่ได้พบว่า ในช่วงที่มีการใช้น้ำร้อนจ่ายให้แก่ระบบ Absorption chiller อุณหภูมิของน้ำชั้นบนสุดและล่างสุดมีความแตกต่างกันประมาณ 10 °C



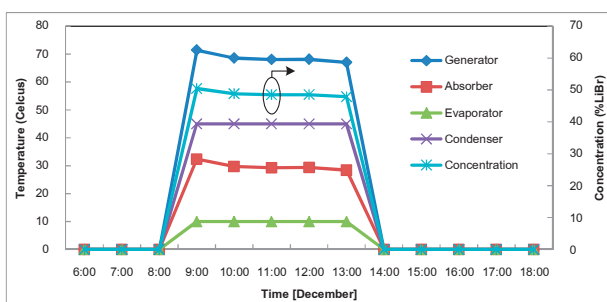
รูปที่ 4 การเปรียบเทียบอุณหภูมิน้ำร้อนจากระบบผลิตน้ำร้อนพลังงานแสงอาทิตย์จากตัวเก็บรังสีอาทิตย์แบบท่อสูญญากาศ 20-45 แผง



รูปที่ 5 การแยกชั้นของอุณหภูมิของน้ำร้อนในถังเก็บน้ำร้อนที่ระดับความสูงต่างๆ

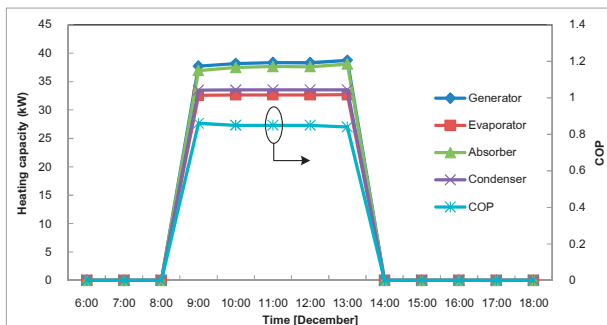
#### Absorption chiller

รูปที่ 6 แสดงอุณหภูมิของสารทำงานที่อุปกรณ์หลักต่างๆ ของระบบ Absorption chiller และปริมาณความเข้มข้นของสารละลายน้ำ LiBr-H<sub>2</sub>O ที่ออกจาก Generator ผลที่ได้พบว่า เมื่อ Generator รับพลังงานความร้อนจากน้ำร้อนอุณหภูมิประมาณ 80 °C สารละลายน้ำ LiBr-H<sub>2</sub>O ความเข้มข้น 45 %LiBr ที่อยู่ภายใน Generator จะเดือดที่อุณหภูมิประมาณ 70 °C และเกิดการแยกตัวของน้ำร้อนไปยัง Condenser และความแห้งที่อุณหภูมิ 40 °C และส่งต่อไปยัง Evaporator เพื่อถึงความร้อนออกจากน้ำที่อุณหภูมิ 10 °C จากนั้นไอน้ำที่ออกจาก Evaporator จะไปรวมตัวกับสารละลายน้ำความเข้มข้นประมาณ 50 %LiBr ที่ Absorber ที่อุณหภูมิประมาณ 30 °C และส่งกลับไปยัง Generator ต่อไปอีกครั้ง



รูปที่ 6 อุณหภูมิของสารทำงานที่อุปกรณ์หลักต่างๆ และความเข้มข้นของสารละลายน้ำ H<sub>2</sub>O-LiBr ในระบบ Absorption chiller

รูปที่ 7 แสดงขั้นตอนการถ่ายเทความร้อนของอุปกรณ์ต่างๆ ในระบบ Absorption chiller และค่า COP ผลที่ได้พบว่า ระบบ Absorption chiller ต้องการพลังงานความร้อนที่ Generator ประมาณ 40 kW เพื่อใช้ในการผลิตน้ำเย็นที่ Evaporator ประมาณ 35 kW และระบบมีค่า COP ประมาณ 0.8



รูปที่ 7 ขั้นตอนการถ่ายเทความร้อนของอุปกรณ์ต่างๆ และค่า COP ของระบบ Absorption chiller

#### Vapor compression system

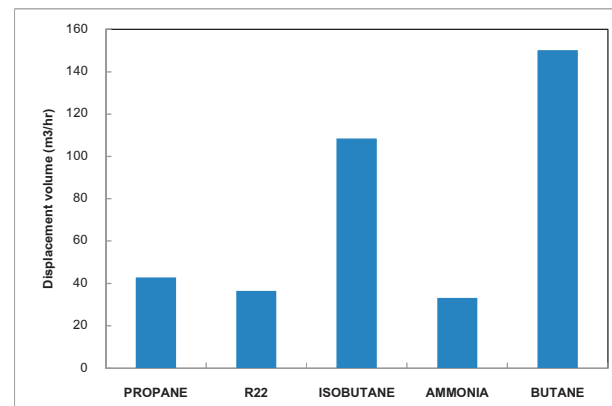
Ice storage system ที่มีระบบ Vapor compression เป็นตัวผลิตน้ำแข็งในตอกกลางคืนเพื่อลดค่าใช้จ่ายด้านพลังงานไฟฟ้าสำหรับงานวิจัยนี้ เลือกใช้สารในกลุ่มสารอินทรีย์ (Organic) ที่เป็นสารธรรมชาติ (Natural working fluid) มีผลกระทบต่อสิ่งแวดล้อมน้อยเป็นสารทำงานของระบบ Vapor compression

สารทำงานที่เลือกมาพิจารณาประกอบด้วย Propane, Isobutane, Butane และ Ammonia ซึ่งสารทำงานทั้งสี่ชนิดเป็นสารที่สามารถหาซื้อได้ในประเทศไทย แต่อุปกรณ์ในระบบ Vapor

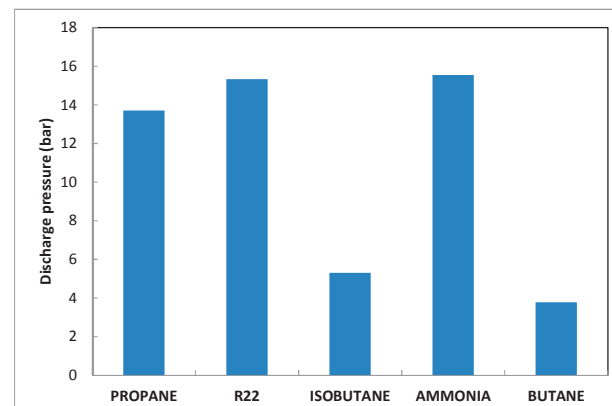
compression โดยส่วนมากจะผลิตสำหรับการใช้งานกับ R-22 (Mass product) ดังนั้นงานวิจัยนี้ จึงมีวัตถุประสงค์ที่ต้องการนำเสนออุปกรณ์ที่ผลิตมาสำหรับใช้กับ R-22 มาใช้กับสารทำงานชนิดอื่น แต่ได้อัตราการถ่ายเทความร้อน (Cooling capacity) ใกล้เคียงกับสารทำงานตัวเดิมดังนั้น才ที่ใช้ในการพิจารณาดังกล่าวจึงประกอบไปด้วย ปริมาตรการเคลื่อนที่ (Displacement volume) ความดันด้านสูง (High side pressure) และอัตราส่วนการอัด (Compression ratio) ของ Compressor

รูปที่ 8 แสดงการเปรียบเทียบ Displacement volume ของสารทำงานทั้ง 5 ชนิด ผลที่ได้พบว่า Propane และ Ammonia มีค่า Displacement volume ใกล้เคียงกับ R-22 แต่ Ammonia เป็นสารทำงานที่กัดกร่อนทองแดงและทองเหลือง จึงไม่เหมาะสมต่อการใช้งานกับอุปกรณ์ที่ผลิตสำหรับใช้งานกับ R-22

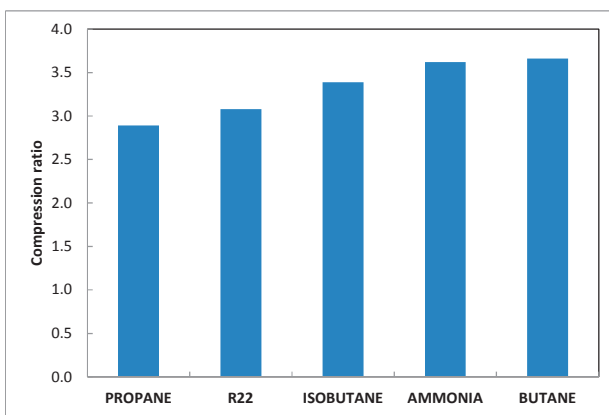
รูปที่ 9 แสดงการเปรียบเทียบความดันด้านสูงที่ออกจาก Compressor ผลที่ได้พบว่าสารทำงานทั้ง 4 ชนิด มีความดันด้านสูงน้อยกว่า R-22 รวมทั้งค่าอัตราส่วนการอัดที่แสดงในรูปที่ 10 แสดงให้เห็นว่า Compressor ที่ออกแบบมาสำหรับ R-22 สามารถรองรับความดันจากสารทำงานทั้ง 4 ชนิดนี้ได้



รูปที่ 8 การเปรียบเทียบ Displacement volume

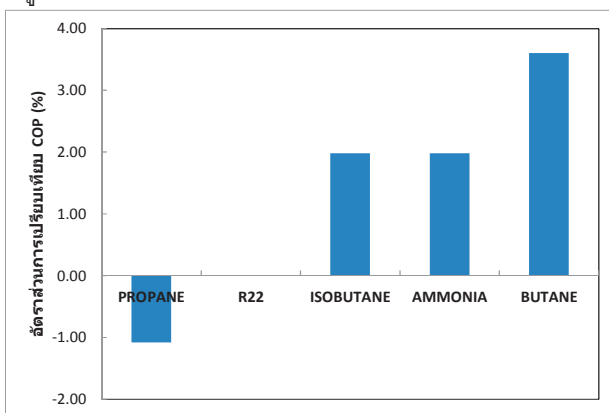


รูปที่ 9 การเปรียบเทียบความดันออกจากการคอมเพรสเซอร์



รูปที่ 10 การเปรียบเทียบอัตราส่วนการอัดของคอมเพรสเซอร์

จากผลในรูปที่ 8-10 สามารถสรุปได้ว่า Propane เหมาะสมมากที่สุดในการนำมาใช้งานในระบบ Vapor compression ที่ใช้อุปกรณ์ที่ผลิตมาสำหรับ R-22 เพื่อใช้ในการทำความเย็นร่วมกับระบบ Absorption chiller ในอาคารสีเขียว (Green building) ต่อไป ถึงแม้ค่า COP ของระบบ Vapor compression จะลดลงเล็กน้อยก็ตาม ดังแสดงในรูปที่ 11



รูปที่ 11 อัตราส่วนการเปลี่ยนค่า COP

#### การประเมินด้านเศรษฐศาสตร์

ตารางที่ 1 แสดงผลการวิเคราะห์ด้านเศรษฐศาสตร์เบรี่ยบเทียบระบบร่วมของ Solar-Absorption system และ Ice storage system กับระบบผลิตน้ำเย็น (Chiller) โดย Vapor compression system แบบทั่วไป ผลที่ได้พบว่า ระบบร่วมสามารถประหยัดค่าใช้จ่ายด้านพลังงานไฟฟ้าได้ 95,986 Baht/Y และมีระยะเวลาการคืนทุนประมาณ 8 Y

ตารางที่ 1 ผลการวิเคราะห์ด้านเศรษฐศาสตร์

Devices	Chiller <sup>1</sup>	ระบบร่วม <sup>2</sup>
ราคาระบบ [15]		
● Vapor compression system	365,000	365,000
● Absorption chiller	-	800,000
ความสามารถการทำความเย็น(kW)	35	35
อัตราการใช้พลังงานไฟฟ้า (kW)		

Devices	Chiller <sup>1</sup>	ระบบร่วม <sup>2</sup>
● Vapor compression system [16]	10	10
● Absorption chiller [3]	-	2
ช่วงเวลาการทำงาน (h)	10	10
● Vapor compression system	8:00-18:00	0:00-5:00
● Absorption chiller	-	9:00-14:00
ค่าไฟฟ้าต่อปี <sup>3</sup> [17] (Baht)		
● Vapor compression system	196,610.33	83,382.85
● Absorption chiller	-	17,241.48

Note:<sup>1</sup> ระบบผลิตน้ำเย็นโดย Vapor compression system

<sup>2</sup> ระบบ Solar-absorption chillerร่วมกับ Ice storage system

<sup>3</sup> ประเทกผู้ใช้ไฟฟ้า 4.2.3

#### สรุปผลการวิจัย

- ผลการวิจัยสามารถสรุปผลการดำเนินงานได้ดังต่อไปนี้
  - จำนวนตัวเก็บรังสีอาทิตย์จำนวน 35 แผง พื้นที่แต่ละแผง  $2.4 \text{ m}^2$  เมะะสมต่อการป้อนน้ำอุณหภูมิสูงกว่า  $80^\circ\text{C}$  ให้แก่ Absorption chiller ขนาดความสามารถทำความเย็น 35 kW ต่อเนื่อง 5 ชั่วโมง
  - Absorption chiller ขนาดความสามารถทำความเย็น 35 kW ต้องการแหล่งพลังงานความร้อนประมาณ 40 kW และมีค่า COP ประมาณ 0.8
  - สารทำงานที่เหมาะสมสำหรับ Vapor compression system ของระบบ Ice storage คือ Propane
  - ระบบร่วมของ Solar-absorption chillerและ Ice storage system สามารถลดค่าใช้จ่ายไฟฟ้าได้ปีละ 95,986 Baht/Y และมีระยะเวลาการคืนทุนประมาณ 8 Y

#### กิตติกรรมประกาศ

ขอขอบคุณ วิทยาลัยพลังงานทดแทน มหาวิทยาลัยแม่โจ้ และหน่วยวิจัยระบบทางอุณหภูมิ ภาควิชาวิศวกรรมเครื่องกล คณะวิศวกรรมศาสตร์ มหาวิทยาลัยเชียงใหม่ สำหรับการสนับสนุนในการทำวิจัย

## เอกสารอ้างอิง

- [1] แหล่งรวมข้อมูลสำหรับผู้รับเหมาก่อสร้างไทย.2555. ระบบออนไลน์, [www.thaicontractors.com](http://www.thaicontractors.com)
- [2] อันรุทธิ์ กันทะวงศ์, อารีย์อัจฉริยวิริยะ, นัฐพร ไชยญาติ และท่านเกียรติ เกียรติคิริโรจน์.2555. การศึกษาระบบทำความเย็นแบบดูดกลืนโดยใช้พลังงานแสงอาทิตย์ร่วมกับพลังงานชีมวล. สาขาวิศวกรรมพลังงาน, คณะวิศวกรรมศาสตร์, มหาวิทยาลัยเชียงใหม่.
- [3] อาจรี ศุภสุขกุล.2553. ระบบทำความเย็นแบบดูดซึมจากพลังงานแสงอาทิตย์โดยใช้สารทำงานทดแทน. วารสาร วิศวกรรมศาสตร์ มหาวิทยาลัยศรีนครินทร์วิโรฒ ปีที่ 5. หน้า 8.
- [4] นัฐพร ไชยญาติ.2551. การออกแบบระบบทำความเย็นแบบดูดซึมที่ใช้อิเล็กทรอนิกส์เครื่องผลิตกระแสไฟฟ้ากำชีชีวภาพ. วิทยานิพนธ์วิศวกรรมศาสตร์ มหาบัณฑิต, มหาวิทยาลัยเทคโนโลยีพระนครเหนือ.
- [5] มนตรี มนต์ไชย.2552. การศึกษาและจำลองระบบทำความเย็นแบบดูดกลืนชนิดเปิด โดยใช้พลังงานแสงอาทิตย์. วิทยานิพนธ์ วิศวกรรมศาสตรมหาบัณฑิต, มหาวิทยาลัยเทคโนโลยีพระนครเหนือ.
- [6] Duffie, J.A. and Beckman, W.A. 1980. Solar engineering of thermal processes, English.
- [7] NASA Surface meteorology and Solar Energy. 2010. RETScreen Data. Online, <http://eosweb.larc.nasa.gov/sse/RETScreen/>.
- [8] Thai Meteorological Department. 2010. The ambient temperature at Chiang Mai. Online, <http://www.tmd.go.th/thailand.php>.
- [9] American Society of Heating, Refrigerating and Air-Conditioning Engineers, Inc. (ASHRAE).2001. Refrigerants. Atlanta.
- [10] Khairulin, R.A, Gruzdev, V.A, Stankus, S.V, Verba, O.I. 2006. Experimental study of the density of aqueous solutions of lithium bromide at temperature of up to 250 in the range of mass concentrations from 30 to 65 %.Thermophysics and Aeromechanics, Vol. 13, pp. 575-583.
- [11] Kaita Y. 2000. Thermodynamic properties of lithium bromide-water solutions at high temperatures. Int J of Refrigeration, Vol. 24, pp. 374-390.
- [12] Feuerecker, G, Scharfe, J, Greiter, I, Frank, C, Alfeld, G. 1993. Measurement of thermophysical properties of LiBr-solutions at high temperatures and concentrations. International Absorption Heat Pump Conference ASME,Vol. 31, pp. 493-499.
- [13] National Institute of Standards and Technology, Inc. (NIST, REFPROP Version 7). 2000. Thermodynamic Properties of Refrigerants and Refrigerant Mixtures Software.
- [14] Vijay Dwivedi.2009. Thermal modeling and control of domestic hot water tank. University of Strathclyde Engineering, pp. 41-42.
- [15] บริษัท ทีซัล อินโนเวชั่น อินเทลลิเจนซ์ จำกัด.2556. ระบบออนไลน์,[www.tsus.co.th](http://www.tsus.co.th)
- [16] เทคโนโลยีเพื่อการประหยัดพลังงานและรักษาสิ่งแวดล้อม .2556. ระบบออนไลน์, <http://energysavingtechnology.blogspot.com>
- [17] อัตราค่าไฟฟ้าการไฟฟ้าแห่งประเทศไทย. 2556. ระบบออนไลน์, <http://www.pea.co.th>

## รายการสัญลักษณ์

### อักษรย่อ

A	Area, ( $m^2$ )
C <sub>p</sub>	Heat capacity, (kJ/kg·K)
COP	Coefficient of performance
h	Enthalpy, (kJ/kg)
I <sub>T</sub>	Solar radiation, (W/m <sup>2</sup> )
m	Mass flow rate, (kg/s)
M	Mass, (kg)
P	Pressure, (bar)
Q	Heat rate, (kW)
T	Temperature, (°C)
U	Overall heat transfer coefficient, (W/m <sup>2</sup> ·K)

### สัญลักษณ์

Ξ	Effectiveness, (%)
ตัวห้อ	
a	Ambient
A	Absorber
AB	Absorption chiller
Aux	Auxiliary heat
C	Condenser
Comp	Compressor
E	Evaporator
G	Generator
HX	Heat exchanger
i	Inlet
o	Outlet
P	Pump
PRV	Pressure relief valve
SC	Solar collector
ST	Storage tank
Sup	Supply
VC	Vapor compression

#### ภาคพหุวก

(ภาคพหุว ก) ต่อรังสีอาทิตย์ของจังหวัดเชียงใหม่

Month	Jan	Feb	Mar	Apr	May	Jun
$I_T (\text{MJ/m}^2 \cdot \text{d})$	17.82	20.34	21.71	22.36	19.69	16.88
Month	Jul	Aug	Sep	Oct	Nov	Dec
$I_T (\text{MJ/m}^2 \cdot \text{d})$	15.66	15.23	15.77	15.73	15.84	16.45